

УДК 539.4

DOI: https://doi.org/10.54341/20778708_2023_1_54_43

EDN: MJNIAY

СТАТИЧЕСКАЯ И ДИНАМИЧЕСКАЯ ЗАДАЧА ДЛЯ ЕДИНИЧНОЙ МАРТЕНСИТНОЙ ПРОСЛОЙКИ В ФЕРРОМАГНИТНОМ МОНОКРИСТАЛЛЕ С ЭФФЕКТОМ ПАМЯТИ ФОРМЫ, НАХОДЯЩЕМСЯ В МАГНИТНОМ ПОЛЕ В ЖЕСТКОЙ ЗАДЕЛКЕ

В.О. Остриков¹, О.М. Остриков²¹Гомельский государственный технический университет имени П.О. Сухого²Белорусский государственный университет транспорта, Гомель

A STATIC AND DYNAMIC PROBLEM FOR A SINGLE MARTENSITIC LAYER IN A FERROMAGNETIC SINGLE CRYSTAL WITH A SHAPE MEMORY EFFECT IN A MAGNETIC FIELD IN A RIGID EMBODIMENT

V.O. Ostrikov¹, O.M. Ostrikov²¹Sukhoi State Technical University of Gomel²Belarusian State University of Transport, Gomel

Аннотация. Решена статическая и динамическая задача для границ мартенситной прослойки в находящемся в магнитном поле механически не нагруженном ферромагнитном монокристалле с эффектом памяти формы, закрепленном в жесткой заделке. Показано, что для обеспечения статического равновесия необходимо наличие на границах раздела компенсационных сил, уравновешивающих действие магнитного поля.

Ключевые слова: мартенситная прослойка, ферромагнитный монокристалл с памятью формы, межфазная граница раздела.

Для цитирования: Остриков, В.О. Статическая и динамическая задача для единичной мартенситной прослойки в ферромагнитном монокристалле с эффектом памяти формы, находящемся в магнитном поле в жесткой заделке / В.О. Остриков, О.М. Остриков // Проблемы физики, математики и техники. – 2023. – № 1 (54). – С. 43–46. – DOI: https://doi.org/10.54341/20778708_2023_1_54_43. – EDN: MJNIAY

Abstract. A static and dynamic problem is solved for the boundaries of a martensitic layer in a mechanically unloaded ferromagnetic single crystal with a shape memory effect located in a magnetic field and fixed in a rigid embodiment. It is shown that to ensure static equilibrium, it is necessary to have compensatory at the interfaces that balance the action of the magnetic field.

Keywords: martensitic layer, ferromagnetic single crystal with shape memory, interface.

For citation: Ostrikov, V.O. A static and dynamic problem for a single martensite layer in a ferromagnetic single crystal with a shape memory effect in a magnetic field in a rigid embodiment / V.O. Ostrikov, O.M. Ostrikov // Problems of Physics, Mathematics and Technics. – 2023. – № 1 (54). – P. 43–46. – DOI: https://doi.org/10.54341/20778708_2023_1_54_43 (in Russian). – EDN: MJNIAY

Введение

Интерес к активным исследованиям ферромагнитных материалов с эффектом запоминания формы вызван перспективами практического применения данных материалов в электротехнических системах нового поколения [1]–[8]. При этом растет актуальность разработки и применения инженерных расчетов для технических задач, связанных с уникальными физико-механическими свойствами материалов с памятью формы, восстанавливающих ее под действием магнитного поля [2].

Целью данной работы стало решение статической и динамической задачи для мартенситной прослойки, находящейся в призматическом ферромагнитном монокристалле с эффектом памяти формы, находящемся в жесткой заделке.

1 Постановка задачи

На рисунке 1.1 схематически представлен призматический монокристаллический ферромагнитный образец с памятью формы, находящийся в жесткой заделке. Пусть в монокристалле имеется единичная мартенситная прослойка длиной l_m . Длины аустенитных частей кристалла обозначим l_{a1} и l_{a2} (рисунок 1.1). Величины l_m , l_{a1} и l_{a2} примем за известные параметры.

В общем случае магнитное поле, в которое помещен кристалл, будем считать неоднородным, а силовое воздействие данного поля на границах раздела аустенит/мартенсит будем рассматривать посредством сил \vec{F}_{Bmag} и \vec{F}_{Cmag} . В общем случае *неоднородного* магнитного поля

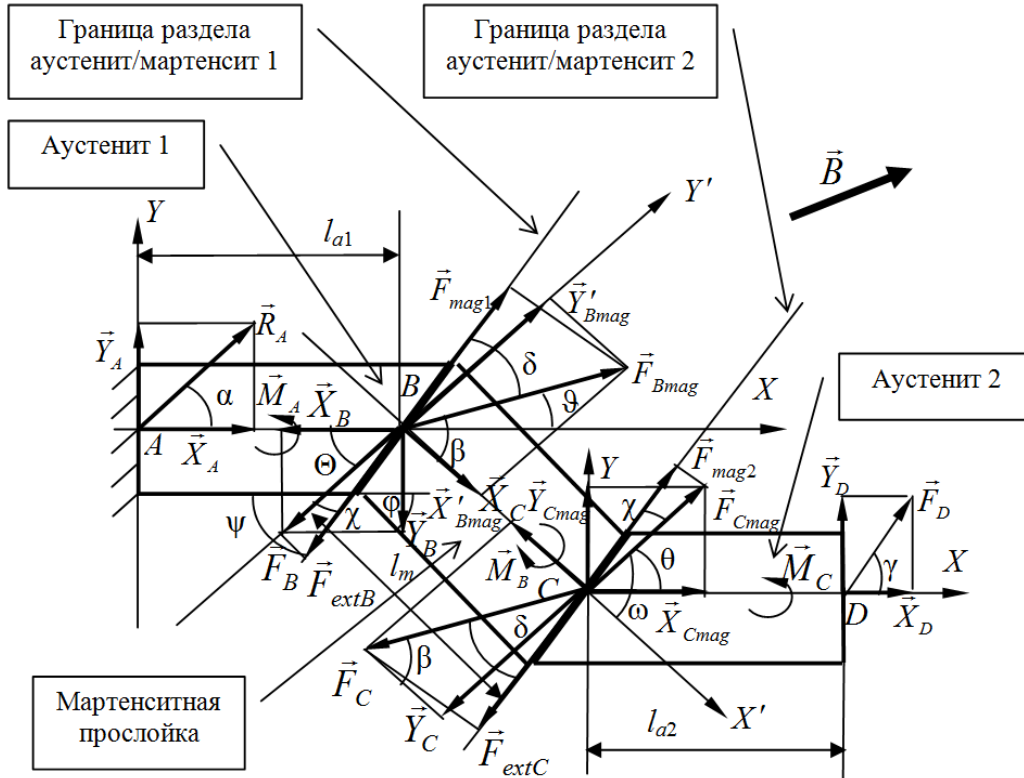


Рисунок 1.1 – Ферромагнитный призматический монокристаллический образец с эффектом памяти формы с мартенситной прослойкой, находящийся в жесткой заделке в магнитном поле

\vec{B} данные силы не параллельны и величины этих сил не равны друг другу (т. е. $F_{Bmag} \neq F_{Cmag}$).

Силы \vec{F}_{Bmag} и \vec{F}_{Cmag} будем считать заданными.

Действие магнитного поля на ферромагнитный призматический монокристалл с памятью формы смоделируем действующей на свободном торце образца силой \vec{F}_D (рисунок 1.1). Величину этой силы и ее направление нужно определить.

Также необходимо рассчитать все моменты сил, действующие на мартенситный и аустенитные объемы ферромагнитного призматического монокристалла с памятью формы, и величину и направление реакции \vec{R}_A заделки.

2 Решение статической задачи

1. Решение статической задачи удобно начинать с рассмотрения сил, действующих на второй аустенитный объем (рисунок 1.1), для которого в состоянии равновесия будем иметь:

$$\sum_i F_{ix} = X_D + F_{Cmag} \cos\theta - F_C \cos\vartheta = 0, \quad (2.1)$$

$$\sum_i F_{iy} = Y_D + F_{Cmag} \sin\theta - F_C \sin\vartheta = 0, \quad (2.2)$$

$$\sum_i M_C(F_i) = F_D l_{a2} \sin\gamma + M_C = 0, \quad (2.3)$$

где выполнена замена

$$X_D = F_D \cos\gamma, \quad Y_D = F_D \sin\gamma. \quad (2.4)$$

В (2.1)–(2.4) γ , θ и ϑ – углы, показанные на рисунке 1.1; сила \vec{F}_D уравнивает действие силы \vec{F}_{Cmag} , инициированной магнитным полем; сила \vec{F}_C уравнивает действие силы \vec{F}_{Bmag} , также возникшую при включении магнитного поля; M_C – момент сил (рисунок 1.1). Предполагалось, что \vec{F}_{Bmag} параллельна \vec{F}_C .

Тогда в условии статического равновесия из (2.1)–(2.3) получим

$$X_D = F_C \cos\vartheta - F_{Cmag} \cos\theta, \quad (2.5)$$

$$Y_D = F_C \sin\vartheta - F_{Cmag} \sin\theta, \quad (2.6)$$

$$M_C = -F_D l_{a2} \sin\gamma.$$

Следует учесть, что

$$\vec{F}_D = X_D \vec{i} + Y_D \vec{j}; \quad F_D = \sqrt{X_D^2 + Y_D^2};$$

$$\text{tg}\gamma = Y_D / X_D. \quad (2.7)$$

2. Рассмотрение равновесия мартенситного объема приводит к системе уравнений:

$$\sum_i F_{ix'} = F_{Cmag} \cos\omega - F_C \cos\beta +$$

$$+ F_{Bmag} \cos\beta - F_B \cos\omega = 0, \quad (2.8)$$

$$\sum_i F_{iy'} = F_{Cmag} \sin\omega - F_C \sin\beta +$$

$$+ F_{Bmag} \sin\beta - F_B \sin\omega = 0, \quad (2.9)$$

$$\sum_i M_B(F_i) = F_{Cmag} l_m \sin\omega - F_C l_m \sin\beta - M_B + M_C = 0, \quad (2.10)$$

$$\sum_i M_C(F_i) = -F_{Bmag} l_m \sin\beta + F_B l_m \sin\omega + M_B - M_C = 0. \quad (2.11)$$

Здесь β и ω – углы, показанные на рисунке 1.1; \vec{F}_B – сила, действующая на границе раздела аустенит/мартенсит и уравновешивающая действие силы \vec{F}_{Cmag} на другой границе мартенситного объема; M_B – момент сил.

Из (2.10) и (2.11) получаем:

$$(F_{Cmag} + F_B) \sin\omega = (F_{Bmag} + F_C) \sin\beta. \quad (2.12)$$

3. Для первого аустенитного объема (рисунок 1.1) получим:

$$\sum_i F_{iX} = F_{Bmag} \cos\vartheta - F_B \cos\theta + X_A = 0,$$

$$\sum_i F_{iY} = F_{Bmag} \sin\vartheta - F_B \sin\theta + Y_A = 0,$$

$$\sum_i M_A(F_i) = F_{Bmag} l_{a1} \sin\vartheta - F_B l_{a1} \sin\theta + M_A - M_B + M_C = 0.$$

Отсюда

$$X_A = F_B \cos\theta - F_{Bmag} \cos\vartheta,$$

$$Y_A = F_B \sin\theta - F_{Bmag} \sin\vartheta,$$

$$M_A = -F_{Bmag} l_{a1} \sin\vartheta + F_B l_{a1} \sin\theta + F_{Cmag} l_m \sin\omega - F_C l_m \sin\beta.$$

Причем

$$\vec{R}_A = X_A \vec{i} + Y_A \vec{j}; \quad R_A = \sqrt{X_A^2 + Y_A^2}; \quad \text{tg}\alpha = Y_A / X_A.$$

4. В приведенных выше системах уравнений число неизвестных превышает число уравнений. Поэтому перейдем к частному случаю и примем допущение:

$$F_{Bmag} = F_{Cmag}. \quad (2.13)$$

Правомерность такого допущения обусловлена тем, что величина l_m , как правило, достаточно мала, чтобы в рассматриваемой области мартенситной прослойки магнитное поле с высокой степенью точности можно считать *однородным*. Тогда из (2.8) получим

$$F_B \cos\omega = F_{Cmag} (\cos\omega + \cos\beta) - F_C \cos\beta, \quad (2.14)$$

а из (2.9) –

$$F_B \sin\omega = F_{Cmag} (\sin\omega + \sin\beta) - F_C \sin\beta. \quad (2.15)$$

Поделив (2.15) на (2.14), получим

$$\text{tg}\omega = \frac{F_{Cmag} (\sin\omega + \sin\beta) - F_C \sin\beta}{F_{Cmag} (\cos\omega + \cos\beta) - F_C \cos\beta}. \quad (2.16)$$

Далее, преобразовывая (2.16) в

$$F_{Cmag} \text{tg}\omega (\cos\omega + \cos\beta) - F_C \cos\beta \text{tg}\omega = F_{Cmag} (\sin\omega + \sin\beta) - F_C \sin\beta,$$

окончательно получим

$$F_C = F_{Cmag} \frac{\sin\omega + \sin\beta - \text{tg}\omega (\cos\omega + \cos\beta)}{\sin\beta - \cos\beta \text{tg}\omega}. \quad (2.17)$$

Подставляя (2.17) в (2.5) и (2.6) будем иметь:

$$X_D = F_{Cmag} \times \quad (2.18)$$

$$\times \left(\frac{\sin\omega + \sin\beta - \text{tg}\omega (\cos\omega + \cos\beta)}{\sin\beta - \cos\beta \text{tg}\omega} \cos\vartheta - \cos\theta \right),$$

$$Y_D = F_{Cmag} \times \quad (2.19)$$

$$\times \left(\frac{\sin\omega + \sin\beta - \text{tg}\omega (\cos\omega + \cos\beta)}{\sin\beta - \cos\beta \text{tg}\omega} \sin\vartheta - \sin\theta \right).$$

Ввиду параллельности векторов и \vec{F}_{Bmag} и \vec{F}_{Cmag} в однородном магнитном поле из данных рисунка 1.1 будем иметь: $\vartheta = \theta$ и $\beta = \omega$. Это позволяет (2.18) и (2.19) преобразовать к виду:

$$X_D = F_{Cmag} \cos\theta, \quad (2.20)$$

$$Y_D = F_{Cmag} \sin\theta. \quad (2.21)$$

Подстановка (2.20) и (2.21) в (2.7) дает:

$$F_D = |F_{Cmag}|; \quad \gamma = \theta. \quad (2.22)$$

5. Учитывая (2.13) и то, что в *однородном* магнитном поле $\beta = \omega$, из (2.8) и (2.9) получим

$$2F_{Cmag} - F_C - F_B = 0, \quad (2.23)$$

а из (2.12) –

$$F_B = F_C. \quad (2.24)$$

Тогда из (2.23) и (2.24) следует

$$F_{Cmag} = F_C. \quad (2.25)$$

А из (2.13), (2.22), (2.24) и (2.25) получаем:

$$F_{Bmag} = F_{Cmag} = F_B = F_C = |F_D|.$$

Следует отметить, что для обеспечения статического равновесия рассматриваемого механически ненагруженного ферромагнитного монокристалла с мартенситной прослойкой, находящегося в магнитном поле (рисунок 1.1), необходимо наличие сил \vec{F}_B и \vec{F}_C , обеспечивающих это равновесие. Эти силы впервые были обнаружены и описаны в работе [9], где были названы *компенсационными* силами.

3 Решение динамической задачи

Для решения динамической задачи воспользуемся уравнением типа, приведенного в [3]:

$$\frac{\rho A_0 \left(\frac{dL}{dt} \right)^2}{k_0} + \frac{m_0 + \rho A_0 (L - L_0)}{k_0} \frac{d^2 L}{dt^2} = \Delta F_{ext}, \quad (3.1)$$

где ρ – объемная массовая плотность материала; A_0 – площадь поперечного сечения призматического образца; k_0 – коэффициент, связывающий скорость движения границы раздела аустенит / мартенсит (V_b) со скоростью плоскопараллельного перемещения мартенситной части монокристалла (V_m), причем $k_0 = V_b / V_m$ [27]; m_0 – начальная масса мартенситной части образца;

L_0 – начальное положение границы раздела аустенит/мартенсит; L – текущее положение границы; ΔF_{ext} – разность сил на границе раздела аустенит/мартенсит.

Как было показано в [2], решение уравнения (3.1) имеет вид:

$$L(t) = \frac{1}{a} \left(\frac{D_1 t - 1}{D_2} \pm \sqrt{a \Delta F_{ext} t - b} \right). \quad (3.2)$$

Здесь

$$D_1 = \frac{\pm \sqrt{a \Delta F_{ext}} - a V_b}{a L_0 + b}, \quad D_2 = -\frac{1}{a L_0 + b}, \quad a = \frac{\rho A_0}{k_0},$$

$$b = \frac{m_0}{k_0} - a L_0.$$

Не трудно показать, что из (3.2) следует

$$\frac{dL(t)}{dt} = V_b = \frac{1}{a} \left(\frac{D_1}{D_2} \pm \sqrt{a \Delta F_{ext}} \right), \quad (3.3)$$

а из (3.2) и (3.3) – $L(t) = V_b t + L_0$.

Отсюда для границ мартенситной прослойки очевидно следует

$$L_1(t) = V_{b1} t + L_{01}, \quad (3.4)$$

$$L_2(t) = V_{b2} t + L_{02}, \quad (3.5)$$

где индексы 1 и 2 указывают соответственно на первую или вторую границу мартенситной прослойки. Тогда из (3.4) и (3.5) получим

$$l_m(t) = L_2(t) - L_1(t).$$

Следует отметить, что для каждой из границ справедливо

$$\Delta F_{ext1} = F_{mag1} - F_{extB}, \quad (3.6)$$

$$\Delta F_{ext2} = F_{mag2} - F_{extC}. \quad (3.7)$$

Это указывает на то, что с точки зрения механики движущей силой бездиффузионных фазовых превращений в ферромагнитном монокристалле с памятью формы является разница в действии сил, инициированных на границах раздела аустенит / мартенсит, магнитным полем и компенсационных сил. Согласно (3.3), чем больше эта разница, тем выше скорость перемещения межфазных границ.

Следует отметить, что в (3.6) и (3.7)

$$F_{mag1} = F_{Bmag} \cos \delta, \quad F_{extB} = F_B \cos \chi,$$

$$F_{mag2} = F_{Cmag} \cos \chi, \quad F_{extC} = F_C \cos \delta.$$

Заключение

Таким образом, предложены варианты решения статической и динамической задачи для единичной мартенситной прослойки, находящейся в механически не нагруженном ферромагнитном материале с памятью формы, закрепленном в жесткой заделке. Показано, что для нахождения ферромагнитного образца в статическом равновесии в магнитном поле на межфазных границах должны действовать силы, компенсирующие воздействие магнитного поля. Скорость

перемещения границ раздела определяется разницей сил, действующих со стороны магнитного поля, и компенсационных сил.

ЛИТЕРАТУРА

1. *Laitinen, V.* Giant 5.8% magnetic-field-induced strain in additive manufactured Ni-Mn-Ga magnetic shape memory alloy / V. Laitinen, A. Saren, A. Sozinov, K. Ullakko // *Scripta Materialia*. – 2022. – Vol. 208. – P. 114324.

2. *Остриков, В.О.* Статика и динамика границы раздела аустенит / мартенсит в нагруженном призматическом монокристалле с эффектом памяти формы, находящемся в жесткой заделке / В.О. Остриков, О.М. Остриков // *Машиностроение: республиканский межведомственный сборник научных трудов / Белорусский национальный технический университет*; гл. ред. В.К. Шелег. – Минск: БНТУ, 2021. – Вып. 33. – С. 139–147.

3. *Saren, A.* Dynamic twinning stress and viscous-like damping of twin boundary motion in magnetic shape memory alloy Ni-Mn-Ga / A. Saren, K. Ullakko // *Scripta Materialia*. – 2017. – Vol. 139. – P. 126–129.

4. *Phenomenology of giant magnetic-field induced strain in ferromagnetic shape-memory materials* / R.C. O’Handley, S.J. Murrey, M. Marioni, H. Nembach, S.M. Allen // *J. Appl. Phys.* – 2000. – Vol. 87. – P. 4712–4717.

5. *6% magnetic-field-induced strain by twin-boundary motion in ferromagnetic Ni-Mn-Ga* / S.J. Murrey, M. Marioni, S.M. Allen, R.C. O’Handley // *Appl. Phys. Lett.* – 2000. – Vol. 77. – P. 886–888.

6. *Ullakko, K.* Magnetically controlled shape memory alloys: a new class of actuator materials / K. Ullakko // *J. Mater. Eng. Perform.* – 1996. – Vol. 5. – P. 405–409.

7. *James, R.D.* Large field-induced strains in ferromagnetic shape memory materials / R.D. James, R. Tickle, M. Wuttig // *Mater. Sci. Eng.* – 1999. – Vol. A273–275. – P. 320–325.

8. *Ferromagnetic shape memory in the NiMnGa system* / R. Tickle, R.D. James, T. Shield, M. Wuttig, V.V. Kokorin // *IEEE Trans. Magn.* – 1999. – Vol. 35. – P. 4301–4310.

9. *Остриков, В.О.* Компенсационные силы на границах раздела аустенит / мартенсит единичной мартенситной прослойки в ферромагнитном монокристалле с эффектом памяти формы, находящемся в магнитном поле в жесткой заделке / В.О. Остриков, О.М. Остриков // *Актуальные проблемы прочности: сборник тезисов LXIV Международной конференции (Екатеринбург, 4 апреля 2022 г.)*. – Екатеринбург, 2022. – С. 366–367.

Поступила в редакцию 04.11.2022.

Информация об авторах

Остриков Владимир Олегович – магистрант
Остриков Олег Михайлович – к.ф.-м.н., доцент